

I-1 接着合成橋の2・3の性質について

茨城大学工学部 正員 見沢常光
 岩工業高等専門学校 正員 ○並松恒英
 茨城調査設計事務所 小林剛

1. まえがき

コンクリートと鋼桁のShear Connectorとして接着剤を用いた合成橋の施工例を見ることができると、接着剤のようなせん断弾性係数の小さい材料をShear Connectorとして使用する場合は、両部材間の接觸部分を水平方向のせん断に対する弾性的結合材として取り扱う必要があると考えられる。弾性結合の場合、剛結合に比べて、接觸面のせん断抵抗は低下し、表面各部分の軸力は減少する。さうに軸力の減少により部材モーメントの曲率も変化するので、ひずみの直線性がなくなり、剛結合に比べて、コンクリート部のひずみは減少し鋼桁部のひずみは増大する。こうした事を確認しての理論的妥当性の検討のため、実際に接着剤をShear Connectorとして製作したコンクリートと鋼桁よりなる合成橋の実験結果を報告する。

2. 弹性合成による解説

両部材間の接觸面のせん断力による弾性的結合の割合、いわゆるバネ定数を C (kg/cm^2) として、位置 x において、水平せん断力 $T(x)$ (kg/cm) が作用したとき、バネの弾性変形量を $\delta(x)$ とするとき、

$$\delta(x) = \frac{T(x)}{C} \quad ①$$

図-1

がコンクリートと鋼桁の間に生ずる。いま、長さ dx の微要素を考えると変形条件は、

$$\frac{\Delta dx_s}{dx} - \frac{\Delta dx_b}{dx} = \frac{1}{C} \cdot \frac{dT}{dx} \quad ②$$

となる。又次にモーメント M が作用したとき、図-1 のようにこれを D_b , D_{st} , M_b , M_{st} に分割すると、

つりあい条件より

$$D_b = D_{st} \equiv D, M = M_b + M_{st} + D\alpha \quad ③$$

曲率はコンクリート床版と鋼桁に対して同じになり

$$\frac{M_b}{E_b I_b} = \frac{M_{st}}{E_{st} I_{st}} \quad ④$$

接觸面のコンクリートひずみ ϵ_{bt} と鋼桁ひずみ ϵ_{st} は図-1 より

$$\begin{aligned} \epsilon_{bt} &= \frac{\Delta dx_b}{dx} = -\frac{D}{E_b F_b} + \frac{M_b}{E_b I_b} \cdot \frac{db}{2} \\ \epsilon_{st} &= \frac{\Delta dx_{st}}{dx} = \frac{D}{E_{st} I_{st}} - \frac{M_{st} \cdot (2 - \frac{db}{2})}{E_{st} I_{st}} \end{aligned} \quad ⑤$$

である。 $T = \frac{dD}{dx}$ なる関係を用いると式(2), (5)より次のようになる。

$$D \left(\frac{1}{E_b F_b} + \frac{1}{E_{st} I_{st}} \right) - \frac{M_{st}}{E_{st} I_{st}} \cdot \alpha = \frac{1}{C} \cdot \frac{d^2 D}{dx^2} \quad ⑥$$

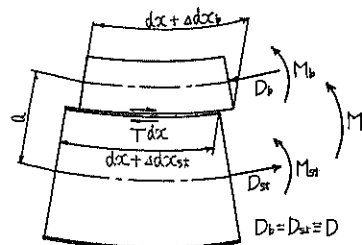
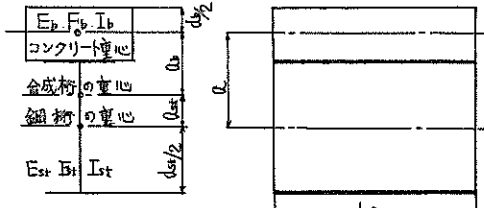
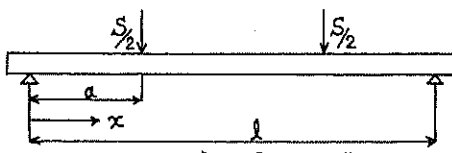


図-2 二点載荷



$0 \leq x \leq a$ のときの 軸力 D_1 セン断力 T_1
 $a \leq x \leq l$ のときの 軸力 D_2 セン断力 T_2
 S ; 荷重 (t) l ; 支間

また式(3)と(4)より

$$\begin{aligned} M_{lb} &= \frac{E_b I_b}{E_b I_b + E_c I_c} (M - D \cdot \alpha) \\ M_{lc} &= \frac{E_c I_c}{E_b I_b + E_c I_c} (M - D \cdot \alpha) \end{aligned} \quad (7)$$

式(7)の M_{lb} を式(6)に代入すれば、軸力 D にフリード微分方程式を得る。

$$D'' - W^2 D = -\gamma M \quad (8)$$

W^2 , γ は次のようにある。

$$W^2 = C \left(\frac{1}{E_b I_b} + \frac{1}{E_c I_c} + \frac{C^2}{E_b I_b E_c I_c} \right), \quad \gamma = C \frac{\alpha}{E_b I_b + E_c I_c}$$

(8) の解を求めるについて、図-2 に示すような三段截荷で実験を行った。

従って左端よりでの軸力を D_1 、せん断力を T_1 、右端よりでの軸力を D_2 、せん断力を T_2 とすると軸力に関する微分方程式は

$$D_1'' - W^2 D_1 - \gamma M = -\gamma \frac{S}{2} \chi \quad 0 \leq x \leq a$$

$$D_2'' - W^2 D_2 - \gamma M = -\gamma \frac{S}{2} \chi \quad a \leq x \leq b$$

となり、 $D_1(x=a) = 0$, $D_2(x=b) = 0$, $D_1(a) = D_2(b)$, $D_1'(a) = D_2'(b)$ の4条件より

$$D_1 = \frac{-\frac{1}{2} \frac{S}{W^2} (e^{W(x-a)} + e^{-Wx}) \sinh Wx}{e^{-Wx} + 1} + \frac{1}{2} \frac{S}{W^2} \chi \quad (9)$$

$$D_2 = \frac{-\frac{1}{2} \frac{S}{W^2} (e^{W(b-x)} + e^{-Wx}) \sinh Wx}{e^{-Wx} + 1} + \frac{1}{2} \frac{S}{W^2} \chi \quad (10)$$

せん断力は $T_1 = \frac{dD_1}{dx}$, $T_2 = \frac{dD_2}{dx}$ の関係から

$$T_1 = \frac{-\frac{1}{2} \frac{S}{W^2} (e^{W(a-x)} + e^{-Wx}) \cosh Wx}{e^{-Wx} + 1} + \frac{1}{2} \frac{S}{W^2} \chi \quad (11)$$

$$T_2 = \frac{-\frac{1}{2} \frac{S}{W^2} (e^{W(b-x)} - e^{-Wx}) \sinh Wx}{e^{-Wx} + 1} \quad (12)$$

となる。式(11), (12)式(7)を式(3)に代入すれば、合成荷のひずみ、応力を求めることができる。

3. 粘着合成荷の製作およびバネ定数

供試体はI型鋼 $150 \times 75 \times 1950$, コンクリー-

図-3 バネ定数の変化による軸力の分布

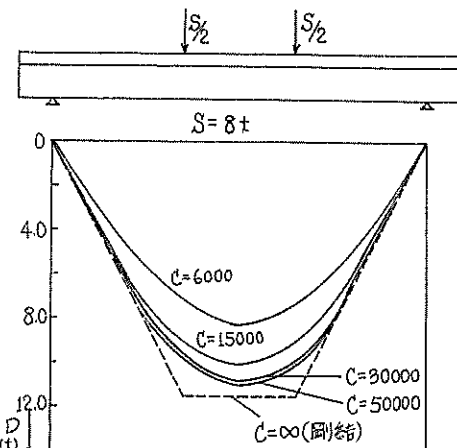


図-4 バネ定数の変化によるコンクリート下縁のひずみ分布

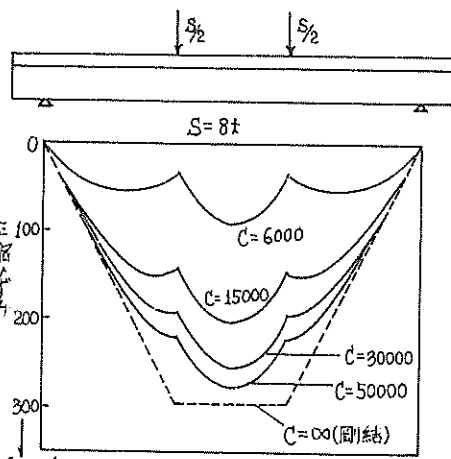
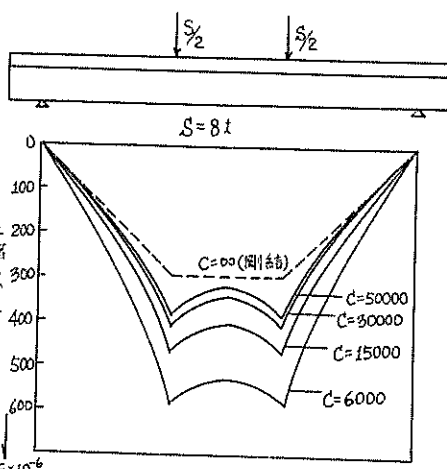


図-5 バネ定数の変化による鋼筋上縁のひずみ分布



ト版($120 \times 60 \times 1950$)を用いた。接着剤はシヨーボンドFC(ヤング率 6.0×10^4 N/mm², ポアソン比0.30)を用い、両接着面を研磨し、汚れを除去した後、素地で塗布接着し、 $70 \sim 80^\circ\text{C}$ で3日間の赤外線乾燥を行った。載荷試験は2段載荷で行ない、ひずみ量、タフミ量、水平方向のズレを測定した。図-6は接着合成功の一観図、断面図を示している。

実用試験に用ひるべく得られたため、接觸面のバネ定数を図-7(a)に示すように実験を行って求めた。この実験によると接着剤での破壊は生せずコンクリート面が破壊した。コンクリートの極限せん断応力は約 40 kg/cm^2 であった。被覆間に荷重、被覆面にズレをとったグラフを図-7(b)に描くと極限せん断応力までの荷重とズレの関係が求まる。コンクリートの極限せん断応力まで直線とみなしてバネ定数 C を求めた。接着巾 $b = 7.5 \text{ cm}$ 、接着長さ $L = 15 \text{ cm}$ にしたのでその時の最大せん断力 T_{max} は $T_{max} = P_{eff} = 9000 \text{ kg}/2 \times 15 \text{ cm} = 300 \text{ kg/cm}$ その時のズレは $\delta = 0.02 \text{ cm}$ となり $C = T_{max}/\delta = 15000 \text{ kg/cm}^2$ となつた。接着剤、接着剤の種類も変えて実験した。その結果接着巾の増加によるズレの減少、接着巾のヤング率の増大によるズレの減少等を得た。

4. 数値計算結果および実験結果

図-3はそれぞれのバネ定数における軸力の分布の数値計算結果を示しており、(a)～(d)で剛結状態となる。同様に図-4は接觸面のコンクリートひずみの分布を示しており、図-5は接觸面鋼筋のひずみ分布を示している。

これを見ると軸力の減少および部分モーメントの増大によるとひずみの変化は、コンクリート床版と鋼筋の曲げたわみの比によって異なり $E_b/E_c < E_a/I_{st}$ ではコンクリートひずみは減少し、剛結ひずみは特に上級で増大する。

図-8(a)(b)は上述で求めたバネ定数 $C = 15000 \text{ kg/cm}^2$ を用いた理論値と実験値の比較で、スパン中央と支点から55cmの点のひずみ分布を示す。理論値と実験値は比較的良好くあつていて、剛結ひずみは上級で増大していることが解り、鋼筋上級ひずみ $S = 8\pm$ のとき剛結合理論よりスパン中央で約19.0%増加し、支点より55cm(載荷点附近)では約28.0%増加している。これは弹性合成功の影響が集中荷重附近では特に著しいということを実験でも示している。鋼筋下級ひずみ $S = 4\pm$ のとき中央で約7.0%、支点より55cmでは約100%引張応力が増加している。今回の実験並びに理論的考察からバネ定数が $C = 50000 \text{ kg/cm}^2$ では鋼筋下級の引張応力が剛結と比較して約4%増加している。従ってバネ定数が $C = 50000 \text{ kg/cm}^2$ 以上では剛結理論を適用しても良いと思われる。又接着剤を適切に増加しヤング率の大きい接着剤を使用すれば剛結理論で取り扱うことができると思われる。

図-6 接着合成功

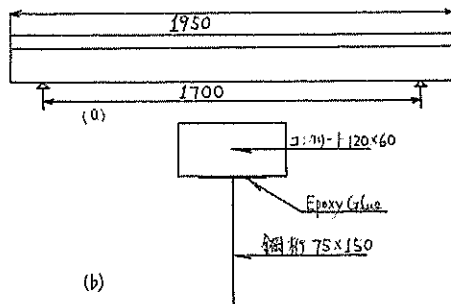


図-7 荷重～ズレ実験

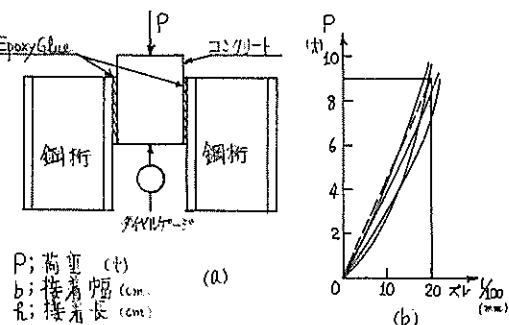
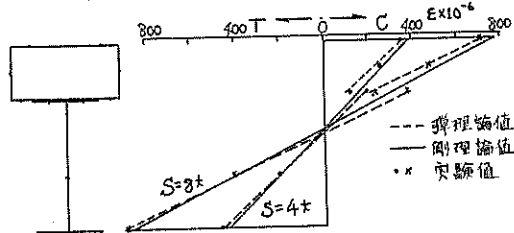


図-8(a) 中央点でのひずみ分布



(b) 支点付近 $x=55 \text{ cm}$ のひずみ分布

